

ВЛИЯНИЕ ГЕОМЕТРИЧЕСКИХ ФАКТОРОВ НА ПАРАМЕТРЫ ЭЛЛИПТИЧЕСКИХ ГОФРИРОВАННЫХ ВОЛНОВОДОВ

М. П. Кухтин

Харьков

Разработаны и освоены гибкие гофрированные волноводы эллиптического сечения, которые обладают рядом преимуществ по сравнению с обычными волноводами прямоугольного и круглого сечений. В отличие от волноводных трактов прямоугольного сечения, не допускающих изгибов без значительных деформаций, или трактов круглого сечения, в которых небольшая деформация приводит к появлению высших типов волн и изменению плоскости поляризации волны, тракты на волноводе эллиптического сечения обладают достаточной гибкостью и не требуют применения специальных скруток и изгибов. При правильном выборе рабочей частоты эллиптического волновода небольшие деформации, вызванные изгибом или скруткой, не приведут к изменению рабочего типа волны. В литературе освещаются также некоторые данные теоретических и экспериментальных исследований механических характеристик эллиптических гофрированных волноводов [1, 2].

На основании этих данных разработаны рекомендации относительно выбора геометрии тракта. В частности, показано, что оптимальным с точки зрения механических свойств волновода является отношение A'/A , равное 1,12 (рис. 1). Однако эти рекомендации получены при рассмотрении лишь механических характеристик гофрированного волновода, в то время как зачастую требования, предъявляемые к таким электрическим параметрам, как затухание и полоса пропускания, являются первостепенными. С целью выбора геометрических размеров, приемлемых с точки зрения как механических, так и электрических свойств, возникает необходимость в изучении влияния геометрических факторов на электрические параметры эллиптических гофрированных волноводов.

Реальный эллиптический гофрированный волновод со спиральным гофром синусоидальной формы поперечного сечения в данной работе аппроксимируется эллиптическим волноводом с кольцевыми

гофрами прямоугольного сечения. Данная аппроксимация существенно упрощает расчет и анализ, в то же время позволяет получить не только достаточно хорошую качественную картину, но и некоторые количественные оценки. Выбор же кольцевых гофров оправдывается тем обстоятельством, что в реальной конструкции шаг спирального гофра достаточно мал.

Таким образом, принятая нами упрощенная модель эллиптического гофрированного волновода представляет собой эллиптический диафрагмированный волновод, у которого толщина диафрагм равна ширине гофра.

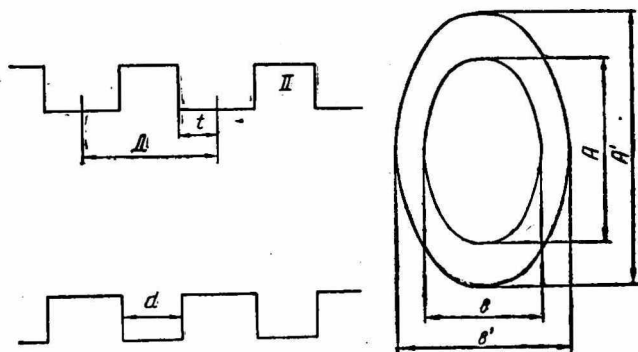


Рис. 1. Сечения эллиптического гофрированного волновода.

В расчете используется эллиптическая система координат. Заметим, что при этом глубина гофра является функцией угловой координаты v .

Волновое уравнение относительно продольной компоненты вектора Герца записывается следующим образом [3] :

$$\frac{\partial^2 \Pi_z^{e, h}}{\partial \mu^2} + \frac{\partial^2 \Pi_z^{e, h}}{\partial v^2} + h_1 (\operatorname{ch}^2 \mu - \cos^2 v) \Pi_z^{e, h} = 0;$$

где

$$h_{I=m} = \frac{a^2}{4} (k^2 - \beta_m^2); \quad \frac{a_2}{4} \chi_m^2; \quad \text{— область I;}$$

$$h_{I=s} = \frac{a^2}{4} \left[k^2 - \left(\frac{s\pi}{d} \right)^2 \right] \frac{a^2}{3} \rho_s^2 \quad \text{— область II.}$$

В общем случае с учетом граничных условий выражения для векторов Герца

в области I имеют вид

$$\Pi_z^e = \sum_{n=0}^N \sum_{m=-M}^M \{ A_{mn} \operatorname{Se}_n(\mu, h_m) \operatorname{se}_n(v, h_m) + A'_{mn} C_n(\mu, h_m) c_n(v, h_m) \} e^{l^3 m^2};$$

$$\Pi_z^h = \sum_{a=0}^N \sum_{m=-M}^M \{ B_{mn} C_n(\mu, h_m) c_n(v, h_m) + B'_{mn} \operatorname{Se}_n(\mu, h_m) \operatorname{se}_n(v, h_m) \} e^{l^3 m^2}$$

и в области II:

$$\Pi_z^e = \sum_{n=0}^N \sum_{s=0}^S \{C_{sn} F_n(\mu, h_s) \text{Se}_n(v, h_s) + C'_{sn} \bar{F}_n(\mu, h_s) c e_n(v, h_s)\} \cos \frac{s\pi}{d} (z - l);$$

$$\Pi_z^h = \sum_{n=0}^N \sum_{s=0}^S \{D_{sn} P_n(\mu, h_s) c e_n(v, h_s) + D'_{sn} \bar{P}_n(\mu, h_s) \text{se}_n(v, h_s)\} \sin \frac{s\pi}{d} (z - l),$$

где

$$F_n(\mu, h_s) = \text{Se}_n(\mu, h_s) \text{Gey}_n(\mu_b, h_s) - \text{Gey}_n(\mu, h_s) \text{Se}_n(\mu_b, h_s);$$

$$\bar{F}_n(\mu, h_s) = \text{Ce}_n(\mu, h_s) \text{Fey}_n(\mu_b, h_s) - \text{Fey}_n(\mu, h_s) \text{Ce}_n(\mu_b, h_s);$$

$$P_n(\mu, h_s) = \text{Ce}_n(\mu, h_s) \text{Fey}'_n(\mu_b, h_s) - \text{Fey}'_n(\mu, h_s) \text{Ce}'_n(\mu_b, h_s);$$

$$\bar{P}_n(\mu, h_s) = \text{Se}_n(\mu, h_s) \text{Gey}'_n(\mu_b, h_s) - \text{Gey}'_n(\mu, h_s) \text{Se}'_n(\mu_b, h_s);$$

$$\text{Se}_1(\mu, h_j) = \frac{\sqrt{\frac{\pi}{2}}}{A_1} \sum_{r=0}^R (-1)^r A_{2r+1} [J_r(\eta_1) J_{r+1}(\eta_2) - J_{r+1}(\eta_1) J_r(\eta_2)];$$

$$\text{Ce}_1(\mu, h_j) = \frac{\sqrt{\pi/2}}{B_1} \sum_{r=0}^R (-1)^r B_{2r+1} [J_r(\eta_1) J_{r+1}(\eta_2) + J_{r+1}(\eta_1) J_r(\eta_2)];$$

$$\text{Gey}_1(\mu, h_s) = \frac{\sqrt{\pi/2}}{A_1} \sum_{r=0}^R (-1)^r A_{2r+1} [J_r(\eta_1) N_{r+1}(\eta_2) - J_{r+1}(\eta_1) N_r(\eta_2)];$$

$$\text{Fey}_n(\mu, h_s) = \frac{\sqrt{\pi/2}}{B_1} \sum_{r=0}^R (-1)^r B_{2r+1} [J_r(\eta_1) N_{r+1}(\eta_2) + J_{r+1}(\eta_1) N_r(\eta_2)];$$

$$\text{se}_n(v, h_j) = \sum_{r=0}^R A_{2r+1,2}^n \sin(2r+1, 2)v;$$

$$\text{ce}_n(v, h_j) = \sum_{r=0}^R B_{2r+1,2} \cos(2r+1, 2)v.$$

Четным n соответствуют индексы и коэффициенты $(2r+2)$, нечетным — $(2r+1)$:

$$\eta_1 = h_j e^{-v}; \quad \eta_2 = h_j e^v; \quad j = m, l, s.$$

Соотношения между коэффициентами A_{mn} A'_{mn} B_{mn} B'_{mn} определяют положение плоскости поляризации волны относительно осей xy . Предполагается, что рассматриваемый волновод работает в одноволновом режиме на волне квази- cH_{11} . В этом случае, считая, что данный волновод подвергается незначительным деформациям (например, используется для соединения двух вибрирующих секций) и, следовательно, в нем не происходит трансформации волны cH_{11} в sH_{11} и cE_{01} и вращения плоскости поляризации сигнала волны, выражения для векторов Герца Π_z^e , Π_z^h можно представить в виде

$$\Pi_z^e = \sum_{n=0}^N \sum_{m=-M}^M A_{mn} \text{Se}_n(\mu, h_m) \text{Se}_n(v h_m) e^{j\beta_m z};$$

$$\begin{aligned} \Pi_z^h &= \sum_{n=0}^N \sum_{m=-M}^M B_{mn} C e_n(\mu, h_m) c e_n(v, h_m) e^{i\beta m z}; \\ \Pi_z^e &= \sum_{n=0}^N \sum_{m=-M}^M C_{sn} F_n(\mu, h_s) s e_n(v, h_s) \cos \frac{s\pi}{d}(z-t); \\ \Pi_z^h &= \sum_{n=0}^N \sum_{m=-M}^M D_{sn} P_n(\mu, h_s) C e_n(v, h_s) \sin \frac{s\pi}{d}(z-t). \end{aligned}$$

Приравнявая и сшивая тангенциальные составляющие полей на границе областей при $\mu = \mu_a$, переходим к бесконечной системе алгебраических уравнений относительно амплитуд пространственных гармоник:

$$\begin{aligned} & \sum_{m=-M}^M \sum_{s=0}^s \left\{ \frac{F_1(\mu_a, q_s)}{F_1'(\mu_a, q_s)} \frac{M_7}{M_9} \left[\beta_m^2 M_{12} - \left(\frac{s\pi}{d} \right)^2 \frac{\chi_m^2}{\rho_s^2} \frac{M_{10}}{M_3} M_4 \right] - \right. \\ & \left. - \frac{\chi_m^2}{\rho_s^2} k^2 \frac{P_1(\mu_a, q_s)}{P_1(\mu_a, q_s)} \frac{M_8}{M_3} M_4 \right\} \frac{2}{kd} \left(\frac{s\pi}{d} \right)^2 \gamma_s^e \gamma_s^m C e_n(\mu_a, q_m) (-1)^{m-l} + \\ & + \delta_{me} k D M_6 C e'(\mu_a, q_e) B_m + \\ & + \sum_{m=-\infty}^{\infty} \sum_{s=0}^s \left\{ \frac{F_1(\mu_a, q_s)}{F_1'(\mu_a, q_s)} \frac{M_7}{M_9} M_{11} \frac{2}{d} \left(\frac{s\pi}{d} \right)^2 \beta_m \gamma_s^m \gamma_s^e S e_1'(\mu_a, q_m) (-1)^{m-l} - \right. \\ & \left. - \delta_{em} \beta_e D M_5 S e_1(\mu_a, q_e) \right\} A_m = 0; \\ & \sum_{m=-\infty}^{\infty} \sum_{s=0}^s \frac{F_1(\mu_a, q_s)}{F_1'(\mu_a, q_s)} \frac{M_2}{M_9} \left[\beta_m^2 M_{12} - \left(\frac{s\pi}{d} \right)^2 \frac{\chi_m^2}{\rho_s^2} \frac{M_{10}}{M_3} M_4 \right] \times \\ & \times \frac{\rho_s^2}{kd} \frac{2\beta e}{(\delta_{s0} + 1)} \gamma_s^e \gamma_s^m C e_1(\mu_a, q_m) (-1)^{m-l} B_m + \\ & \sum_{m=-\infty}^{\infty} \sum_{s=0}^s \left\{ \frac{F_1(\mu_a, q_s)}{F_1'(\mu_a, q_s)} \frac{M_2}{M_9} M_{11} \frac{2\rho_s^2}{d(\delta_{s0} + 1)} \beta_m \beta_e \gamma_s^m \gamma_s^l S e_1'(\mu_a, q_m) (-1)^{m-l} - \right. \\ & \left. - \delta_{em} \chi_l^2 D M_1 S e_1(\mu_a, q_e) \right\} A_m = 0; \end{aligned}$$

где

$$\gamma_s^{m,l} = 2 \frac{\sin \frac{\beta_{m,l} d + s\pi}{2}}{\beta_{m,l}^2 - \left(\frac{s\pi}{d} \right)^2}; \quad \delta_{s0} = \begin{cases} 1 & s = 0; \\ 0 & s \neq 0; \end{cases}$$

$$\begin{aligned}
M_1 &= \int_0^{2\pi} se_1(v, h_l) dv; & M_2 &= \int_0^{2\pi} se_1(v, h_s) se_1(v, h_l) dv; \\
M_3 &= \int_0^{2\pi} ce_1^2(v, h_s) dv; & M_4 &= \int_0^{2\pi} ce_1(v, h_s) ce_1(v, h_m) dv; \\
M_5 &= \int_0^{2\pi} se_1(v, h_l) ce_1(v, h_l) dv; & M_6 &= \int_0^{2\pi} ce_1^2(v, h_l) dv \\
M_7 &= \int_0^{2\pi} se_1'(v, h_l) ce_1(v, h_l) dv; & M_8 &= \int_0^{2\pi} ce_1(v, h_s) ce_n(v, h_l) dv; \\
M_9 &= \int_0^{2\pi} se_1^2(v, h_s) dv; & M_{10} &= \int_0^{2\pi} se_1(v, h_s) ce_1(v, h_s) dv; \\
M_{11} &= \int_0^{2\pi} se_1(v, h_s) se_1(v, h_m) dv; & M_{12} &= \int_0^{2\pi} se_1(v, h_s) ce_1(v, h_m) dv.
\end{aligned}$$

На ЭЦВМ типа М-20 был произведен расчет критических частот и затухания волны cH_1 в эллиптических гофрированных волноводах с геометрическими размерами, указанными в табл. 1. Результаты расчета приведены в табл. 1. Правильность составленной программы подтверждена расчетом предельного перехода от эллиптического гофрированного к круглому гофрированному волноводу.

Таблица 1

N	A	A'	B	B'	D	$f_{кр} s=0,1$	$f_{кр} s=0$
1	31,3	31,72	17,5	18,24	5,3	5675,2	—
2	—	31,87	—	18,5	5,3	5668,87	5706,83
3	—	32,305	—	19,24	5,3	5644,13	5706,832
4	—	32,91	—	20,24	5,3	5619,3	—
5	63,6	64,650	34,5	36,4	5,3	2793,62	—
6	—	65,27	—	37,5	5,3	2784,6	—
7	—	66,002	—	38,75	5,3	2775,7	—
8	31,3	31,87	17,5	18,5	4,3	5670,5	—
9	—	—	—	—	6,3	5665,99	—
10	—	—	—	—	8,3	5661,3	—

Как и в случае круглого гофрированного при учете только постоянной составляющей поля в области гофра, критическая частота эллиптического гофрированного волновода практически не зависит от высших пространственных гармоник ($m=1, 2, 3$) и почти совпадает с критической частотой гладкого эллиптического волновода, имеющего размеры внутреннего эллипса A, B (рис. 1). Данная величина мало меняется с увеличением глубины гофра $\delta_A = A' - A, \delta_B = B' - B$. В то же время данный параметр оказывается более критичным к учету нулевого и первого типов колебаний в гофре. Учет высших пространственных гармоник в случае $s=0,1$ приводит к некоторому увеличению критической

частоты. Однако в рабочей полосе частот дисперсионная кривая в случае ($s = 0,1$ $m = 0 \pm 1 \pm 2$) приближается к кривой для случая ($s = 0,1$ $m = 0$). Данные результаты легко объясняются физически исходя из структуры поля волны квази- cH_1 в эллиптическом гофрированном волноводе.

На основании изложенного в дальнейшем при расчете учитывались только нулевая пространственная гармоника, а также нулевой и первый типы колебаний в гофре.

Как видно из табл. 2, при увеличении периода системы происходит уменьшение критической частоты, которая в предельном случае ($D \rightarrow \infty$) стремится к критической частоте гладкого эллиптического волновода с размерами наружного эллипса.

Т а б л и ц а 2а

$f/f_{кр}$	1,25	1,37	1,5	1,62	1,75	1,87	2
$\alpha_{s=0,1}$	0,676	0,633	0,605	0,583	0,569	0,566	0,56
$\alpha_{s=0}$	0,550	0,517	0,494	0,483	0,484	0,491	0,497
$\Delta \alpha = \alpha_{s=0,1} - \alpha_{s=0}$	0,126	0,116	0,109	0,100	0,085	0,075	0,063
$\Delta \alpha / \alpha_{s=0,1}$	18,65	18,4	18,00	17,2	15,3	13,2	11,2

Т а б л и ц а 2б

$f/f_{кр}$	1,25	1,37	1,5	1,62	1,75	1,87	2
$\alpha_{s=0,1}$	0,7	0,64	0,612	0,6	0,594	0,6	0,61
$\alpha_{s=0}$	0,57	0,533	0,525	0,525	0,533	0,547	0,56
$\Delta \alpha = \alpha_{s=0,1} - \alpha_{s=0}$	0,13	0,107	0,087	0,075	0,061	0,053	0,05
$\Delta \alpha / \alpha_{s=0,1}$	18,6	16,7	14,6	12,5	10,3	8,8	8,2

Для линий передачи, к которым относится рассматриваемый волновод, важнейшим параметром является затухание.

При условии, что потери невелики, затухание основного типа волны cH_1 вычисляется по формуле [4]

$$\alpha = \frac{\Delta P}{PD},$$

где ΔP — потери мощности на периоде системы, которые складываются из потерь на внутренней поверхности волновода ($\mu = \mu_a$; $0 < z < t$; $t + d < z < D$), на боковых стенках гофра ($\mu_a < \mu < \mu_b$; $z = t$; $z = t + d$) и на дне гофра ($\mu = \mu_b$; $t < z < t + d$).

Исследовано влияние высших пространственных гармоник и высших типов колебаний в гофре на величину затухания. Расчетные величины для случаев $s = 0,1$ и $s = 0$ приведены в табл. 2.

В табл. 2 а приведены данные затухания волны cH_1 в волноводе № 2, в табл. 2, б — в волноводе № 4. Из неё видно, что затухание волны cH_1 для $s = 0,1$ превышает затухание этой же волны, определенное для случая постоянного поля в гофре. Различие в начале рабочей полосы ($f \approx 1,2 f_{кр}$) достигает 19%, но с ростом частоты, а также с увеличением глубины гофра уменьшается. Затухание для случая $s = 0,1$ и $\tilde{m} = 0,1$ было просчитано для двух вариантов волновода в рабочей полосе частот. Различие результатов, как в случае нулевого и первого типа колебаний в гофре, убывало с ростом частоты, а на частоте $f = 1, 2 f_{кр}$ составляло не более 5%.

Далее исследовалось влияние глубины гофра на величину затухания. На рис. 2 показано затухание волны cH_1 в четырех волноводах четырехсантиметрового диапазона. Пунктирной линией показано затухание в гладком эллиптическом волноводе с размерами, совпадающими с размерами внутреннего эллипса гофрированных волноводов.

Как видно из рис. 2, в случае малых глубин гофра затухание диафрагмированного волновода незначительно превышает затухание гладкого волновода и кривая затухания имеет такую же частотную зависимость, как и для гладкой системы.

При увеличении глубины гофра наблюдается рост частотной зависимости. Так, на частоте $f = 2 f_{кр}$ увеличение глубины гофра (по отношению к внешнему размеру A' волновода 1) на 0,47% приводит к росту величины затухания на 2,9% (относительно затухания в волноводе 1).

Дальнейшее увеличение глубины гофра на 1,84 и 3,74% приводит к увеличению затухания на 10,7 и 26,9% соответственно. Аналогичное явление наблюдается и для волноводов 10-сантиметрового диапазона.

С увеличением глубины гофра наблюдается смещение минимума затухания в сторону более низких частот. Например, для волновода 1 минимальное затухание (0,0543 дб/м) наблюдается на частоте 11400 Гц, в то время как для волновода 4 минимум затухания будет на частоте 8550 Гц и равен 0,0647 дб/м.

Зависимость затухания от периода системы D приведена на рис. 3. Период D менялся от 4,3 до 8,3 мм. Как видно из графика, увеличение периода приводит к уменьшению затухания и ослаблению частотной зависимости. Относительное уменьшение

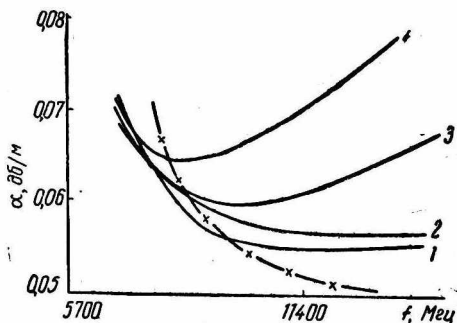


Рис. 2. Зависимость затухания волны cH_1 в медном гофрированном волноводе ($\sigma = 5,8 \text{ см/м}$) от глубины гофра для волноводов 1—4.

периода системы на 24, 36,2 и 48% уменьшает затухание на 4, 9,3 и 15% соответственно. Кроме того, наблюдается смещение минимума затухания в сторону более низких частот. Так, для волновода 4 с периодом $D = 8,3$ мм минимум затухания находится на частоте 10 300 Мгц. Уменьшение периода системы до 4,3 мм привело к смещению минимума до частоты $f = 8400$ Мгц и возрастанию минимума затухания с 0,062 до 0,0656 дБ/м.

Приведенные выше расчеты затухания волны квази- E_{mn} показывают, что при учете в области гофра II только постоянной составляющей поля, как это делается в ряде работ [5], получаются заниженные результаты, лишь качественно характеризующие ослабление электромагнитной волны. Данное приближение (приближение постоянного поля) справедливо только при рассмотрении квази- E_{mn} волны.

Расчет затухания волны $сН_1$ показывает, что оно будет тем меньше, чем меньше глубина гофра и больше период системы D . Однако уменьшение глубины гофра

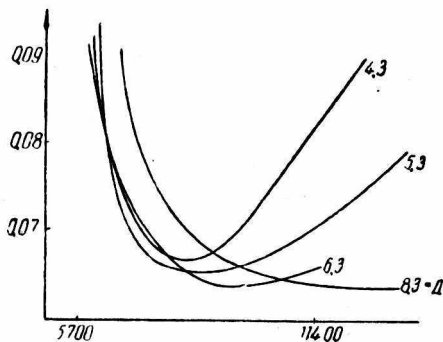


Рис. 3. Зависимость затухания от величины периода системы.

и возрастание периода системы приводит к ухудшению гибкости системы. Поэтому при выборе геометрии системы в каждом конкретном случае необходимо компромиссное решение.

ЛИТЕРАТУРА

1. G Herberts. Механические характеристики гибкого волновода круглого сечения. Nachrichtentechnische Zeitschrift, 18, 10, 1965, 607-615.
2. G Möhring. Изготовление гофрированных кабельных оболочек круглого и эллиптического сечения, стойких к деформациям. Nachrichtentechnische Zeitschrift, 18, 12, 1965.
3. Ф. М. Морс, Г. Фешбах. Методы теоретической физики, т. 1, 2. Изд-во иностр. лит-ры, 1960. 382 с.
4. Г. В. Кисунько. Электродинамика полных систем, Изд. ВКАС, 1949, с. 261—266.
5. T a n g. Распространение и преобразование типов колебаний в круглом волноводе с винтовой канавкой, работающем в многоволновом режиме. IEEE, Trans Micr. Theory and Techn, 14, 6, 1966, 275 — 284.